Supplementary Information

for

Inequality in relational wealth within the upper societal segment: evidence from prehistoric Central Europe

Authors: Johannes Marzian[1,2]*, Julian Laabs[3,6], Johannes Müller[4,5,6], Tilman Requate[2]

Affiliations:

[1]Kiel Institute for the World Economy; Kiel, 24118, Germany

[2]Department of Economics, Kiel University; Kiel, 24118, Germany

[3]Department History, Leipzig University; Leipzig, 04107, Germany

[4]Department of Pre- & Protohistory, Kiel University; Kiel, 24118, Germany

[5]Cluster of Excellence ROOTS, Kiel University; Kiel, 24118, Germany

[6]CRC 1266 Scales of Transformation, Kiel University; Kiel, 24118, Germany

*Corresponding author (johannes.marzian@ifw-kiel.de)

Section 1 – Description of the Variables in the Dataset "main_dataset.csv"

Variable	Description
ID_grave	Identification number of a grave and its respective burial mound.
site_name	Name of the site.
barrow_identification	Name or identification number/code/etc. of the cemetery of the burial mound.
grave_identification	Name or identification number/code/etc. of the grave.
X	X coordinate (e.g., latitude) of the site given in EPSG 4326 (https://epsg. io/4326).
Y	Y coordinate (e.g., longitude) of the site given in EPSG 4326 (https: //epsg.io/4326).
localization_accuracy	Accuracy of the specified coordinates; precise (less than 100 m devia- tion), approximately (between 100 m to 1 km deviation), community- precise (more than 1km deviation).
region	Geographical defined region a burial belongs to.
excavated	Boolean variable to indicate if a burial mound had been excavated or not.
decade_of_excavation	Decade in which the burial mound was excavated.
construction_feature_wood	Boolean variable indicating whether the burial mound contains wooden features, such as a surrounding palisade or else.
construction_feature_stone	Boolean variable indicating whether the burial mound contains stone features, such as rings, pavements, cairns or else.
construction_feature_earthen	Boolean variable indicating whether the burial mound contains features, such as surrounding ditches or earth walls.
construction_feature_house_plow_marks	Boolean variable indicating whether the burial mound was built on a preexisting structure, such as house contexts or plow marks.
construction_feature_radius	Radius (in meter) of any construction feature that might indicate the former maximum radius of the burial mound, given that the geometric shape is round, or round-oval.
	Continued next page

Variable	Description
construction_feature_length	Enclosure length (in meter) of any construction feature that might indicate the former maximum length of the burial mound, given that the geometric shape is oval, rectangular, or trapezoid.
construction_feature_width	Enclosure width (in meter) of any construction feature that might indicate the former maximum width of the burial mound, given that the geometric shape is oval, rectangular, or trapezoid.
barrow_form	Geometric shape of the burial mound from a bird's eye view; round, round-oval, oval, rectangular, trapezoid.
barrow_radius	Radius (in meter) of the burial mound, given that the geometric shape is round, or round-oval.
barrow_length	Length (in meter) of the burial mound, given that the geometric shape is oval, rectangular, or trapezoid.
barrow_width	Width (in meter) of the burial mound, given that the geometric shape is oval, rectangular, or trapezoid.
barrow_height	Height of the burial mound.
barrow_area	Area A of the burial mound.
barrow_volume	Approximated burial mound volume.
dating_absolute	Boolean variable to indicate whether absolute dating (e.g., radiocarbon or dendrochronology) is available.
dating_start	Earliest date of a time interval to which the burial mound can be assigned.
dating_end	Latest date of a time interval to which the burial mound can be assigned.
length_dating	Length of the possible construction time frame of the burial mound, calculated from "dating_start" and "dating_end."
average_dating_org	Average year of the time frame's "dating_start" and "dating_end" to provide a single year for the dating of the burial mound.
	Continued next page

Variable	Description
cat_very_rough	Very rough typochronological category/spatial-temporal unit/etc. in which the burial mound was built, Neolithic, Bronze Age, Iron Age.
cat_rough	Rough typochronological category/spatial-temporal unit/etc. in which the burial mound was built.
cat_fine	Fine typochronological category/spatial-temporal unit/etc. in which the burial mound was built.
cat_very_fine	Very fine typochronological category/spatial-temporal unit/etc. in which the burial mound was built.
references	Short citation of reference where the information of the burial mound be found. For the full citation see the dataset.

Section 2 – Description of the Variables in the Dataset "data_flat_collective_burials_sources.xlsx"

Variable	Description
site	Name of the burial site.
dating_start	Absolute chronological onset of the archaeological dating category in CE.
dating_end	Absolute chronological end of the archaeological dating category in CE.
step_200	200-year-interval to which the respective site is assigned to (based on "dating_start" and "dating_end").
n_burial	Number of individuals buried in flat graves or collective graves at the respective site.
reference	Name of the data source from which the information is extracted.
flat_collective	Indicates if the individuals were buried in flat (f) or collective graves (c).

Section 3 – Share of Burial Mounds in the Total Number of Burials Over Time

Dating	Number of Flat and Collective Burials (Linear Interpol.)	Number of Burial Mounds	Share Burial Mounds in Total Burials
≈ **3700 BCE**	543	42	0.0773
≈ **3500 BCE**	4,098	24	0.009
≈ **3300 BCE**	15,177	19	0.0013
≈ **3100 BCE**	15,967	2	0.0001
≈ **2900 BCE**	4,113	5	0.0012
≈ **2700 BCE**	571	216	0.3783
≈ **2500 BCE**	3,347	708	0.2115
≈ **2300 BCE**	2,013	58	0.0288
≈ **2100 BCE**	3,329	24	0.0072
≈ **1900 BCE**	4,435	42	0.0095
≈ **1700 BCE**	922	88	0.0954
≈ **1500 BCE**	1,744	663	0.3802
≈ **1300 BCE**	3,365	425	0.1263
≈ **1100 BCE**	9,494	135	0.0142
≈ **900 BCE**	10,873	23	0.0021
≈ **700 BCE**	6,419	758	0.1181
≈ **500 BCE**	12,561	314	0.0250
≈ **300 BCE**	445,066	121	0.0027

Table 1 *Number of flat and collective burials (linear interpolation), number of burial mounds, and share of burial mounds in total burial in each of the 200-year intervals.*

Section 4 – Summary Statistics for the 200-Year Analysis

Period	x_{min}	x_{max}	$\tilde{x}_{0.25}$	$\tilde{x}_{0.5}$	$\tilde{x}_{0.75}$	$\bar{x}$	$SD(x)$	n
3800-3600 BCE	13.02	16,755.22	404.69	1,236.15	5,059.34	3,961.01	13.02	42
3600-3400 BCE	42.71	10,289.76	102.44	152.71	2,938.65	2,837.27	42.71	24
3400-3200 BCE	32.71	7,665.76	2,182.29	2,896.88	3,854.84	1,766.98	32.71	19
2800-2600 BCE	32.71	45,976.20	452.40	883.54	1,526.82	3,679.07	32.71	216
2600-2400 BCE	32.71	10,289.76	452.40	883.54	1,526.82	1,366.42	32.71	708
2400-2200 BCE	68.63	5,746.99	452.40	1,072.31	1,795.70	1,303.79	68.63	58
2200-2000 BCE	89.78	32,725.04	1,047.96	1,945.05	4,356.19	6,726.02	89.78	24
2000-1800 BCE	32.71	56,548.57	140.74	686.64	1,526.82	9,370.88	32.71	42
1800-1600 BCE	32.71	16,755.22	524.88	1,072.31	2,094.40	3,103.12	32.71	88
1600-1400 BCE	11.33	33,284.12	303.06	718.39	2,094.40	3,073.97	11.33	663
1400-1200 BCE	2.09	36,811.18	261.80	877.69	2,094.40	3,982.63	2.09	425
1200-1000 BCE	10.29	56,548.57	56.54	190.87	798.04	5,197.71	10.29	135
1000-800 BCE	32.71	5,736.07	162.46	452.40	1,046.60	1,410.77	32.71	23
800-600 BCE	4.09	452,389.13	89.78	261.80	883.54	21,340.70	4.09	758
600-400 BCE	0.23	43,556.89	161.07	348.44	575.16	4,554.96	0.23	314
400-200 BCE	5.75	718,377.24	56.54	190.87	452.40	65,282.71	5.75	121

Table 2 *Summary statistics of the 200-year analysis; Note: x_{min} indicates the smallest burial mound volume, x_{max} the largest, $\tilde{x}_{0.25}$ the 25-% quartile, $\tilde{x}_{0.5}$ the median, $\tilde{x}_{0.75}$ the 75-% quartile, $\bar{x}$ the average volume, $SD(x)$ the standard deviation, and n the number of burial mounds.*

Period	G^*	$CI_{0.95}^{G^*}$	BSE_{G^*}	n
3800-3600 BCE	0.64	(0.62;0.67)	0.04	42
3600-3400 BCE	0.70	(0.67;0.75)	0.06	24
3400-3200 BCE	0.31	(0.30;0.34)	0.06	19
2800-2600 BCE	0.60	(0.57;0.63)	0.05	216
2600-2400 BCE	0.47	(0.47;0.48)	0.01	708
2400-2200 BCE	0.48	(0.47;0.50)	0.03	58
2200-2000 BCE	0.62	(0.58;0.68)	0.09	24
2000-1800 BCE	0.82	(0.79;0.87)	0.05	42
1800-1600 BCE	0.59	(0.57;0.62)	0.04	88
1600-1400 BCE	0.63	(0.62;0.64)	0.02	663
1400-1200 BCE	0.68	(0.66;0.69)	0.02	425
1200-1000 BCE	0.82	(0.77;0.89)	0.08	135
1000-800 BCE	0.66	(0.63;0.70)	0.06	23
800-600 BCE	0.90	(0.87;0.92)	0.03	758
600-400 BCE	0.78	(0.75;0.81)	0.04	314
400-200 BCE	0.98	(0.89;1.12)	0.15	121

Table 3 *Gini Index* (G^*)*, its bootstrapped standard error* (BSE)*, and 95-% bootstrapped confidence intervals* (CI)*for the entire region of Central Europe using time slices of 200 years; Note:* n *number of burial mounds per time slice; A value larger than 1 for the upper limit of the confidence interval (400-200 BCE) results from having very large burial mound volumes in the data. These volumes create substantial variation in the bootstrapped values of the respective indices, which then can lead to extreme values of the limits of the confidence interval. Therefore, we rely on permutation tests in the main analysis.*

Period	I_0	$CI^{I_0}_{0.95}$	BSE_{I_0}	n
3800-3600 BCE	1.05	(0.93;1.29)	0.17	42
3600-3400 BCE	1.41	(1.22;1.75)	0.19	24
3400-3200 BCE	0.31	(0.30;0.44)	0.18	19
2800-2600 BCE	0.69	(0.63;0.80)	0.13	216
2600-2400 BCE	0.43	(0.42;0.44)	0.03	708
2400-2200 BCE	0.47	(0.45;0.51)	0.07	58
2200-2000 BCE	0.68	(0.63;0.89)	0.21	24
2000-1800 BCE	1.72	(1.39;2.44)	0.32	42
1800-1600 BCE	0.69	(0.64;0.78)	0.10	88
1600-1400 BCE	0.85	(0.81;0.89)	0.05	663
1400-1200 BCE	1.02	(0.96;1.11)	0.07	425
1200-1000 BCE	1.62	(1.28;2.50)	0.39	135
1000-800 BCE	0.84	(0.76;1.05)	0.18	23
800-600 BCE	2.23	(1.81;2.88)	0.24	758
600-400 BCE	1.29	(1.13;1.60)	0.19	314
400-200 BCE	3.54	(2.54;9.81)	1.38	121

Table 4 *GEM Index (I_0), its bootstrapped standard error (BSE), and 95-% bootstrapped confidence intervals (CI)for the entire region of Central Europe using time slices of 200 years; Note: n number of burial mounds per time slice; Therefore, we rely on permutation tests in the main analysis.*

Period	I_1	$CI_{0.95}^{I_1}$	BSE_{I_1}	n
3800-3600 BCE	0.70	(0.65;0.79)	0.10	42
3600-3400 BCE	0.84	(0.75;1.06)	0.18	24
3400-3200 BCE	0.16	(0.16;0.18)	0.06	19
2800-2600 BCE	0.85	(0.76;1.11)	0.21	216
2600-2400 BCE	0.41	(0.40;0.42)	0.03	708
2400-2200 BCE	0.38	(0.36;0.40)	0.05	58
2200-2000 BCE	0.69	(0.64;0.88)	0.21	24
2000-1800 BCE	1.40	(1.22;1.94)	0.27	42
1800-1600 BCE	0.64	(0.60;0.72)	0.09	88
1600-1400 BCE	0.77	(0.74;0.82)	0.06	663
1400-1200 BCE	0.91	(0.85;1.00)	0.08	425
1200-1000 BCE	1.97	(1.61;3.27)	0.54	135
1000-800 BCE	0.70	(0.65;0.83)	0.14	23
800-600 BCE	2.67	(2.06;3.70)	0.33	758
600-400 BCE	1.73	(1.50;2.13)	0.20	314
400-200 BCE	4.23	(3.38;10.45)	1.42	121

Table 5 *GEM Index* (I_1)*, its bootstrapped standard error* (BSE)*, and 95-% bootstrapped confidence intervals* (CI)*for the entire region of Central Europe using time slices of 200 years; Note:* n *number of burial mounds per time slice.*

Period	I_2	$CI_{0.95}^{I_2}$	BSE_{I_2}	n
3800-3600 BCE	0.85	(0.75;1.09)	0.20	42
3600-3400 BCE	0.95	(0.77;1.62)	0.36	24
3400-3200 BCE	0.15	(0.15;0.17)	0.06	19
2800-2600 BCE	2.80	(2.32;7.80)	1.12	216
2600-2400 BCE	0.61	(0.59;0.66)	0.06	708
2400-2200 BCE	0.42	(0.41;0.46)	0.07	58
2200-2000 BCE	1.20	(1.09;2.03)	0.46	24
2000-1800 BCE	3.48	(2.42;10.61)	1.22	42
1800-1600 BCE	1.03	(0.94;1.30)	0.20	88
1600-1400 BCE	1.46	(1.31;1.90)	0.22	663
1400-1200 BCE	1.92	(1.69;2.69)	0.31	425
1200-1000 BCE	11.51	(8.59;79.64)	4.40	135
1000-800 BCE	0.97	(0.86;1.40)	0.28	23
800-600 BCE	25.55	(11.98;297.89)	7.52	758
600-400 BCE	7.43	(6.14;17.67)	1.11	314
400-200 BCE	50.56	(38.56;1136.23)	20.20	121

Table 6 *GEM Index* (I_2)*, its bootstrapped standard error* (BSE)*, and 95-% bootstrapped confidence intervals* (CI)*for the entire region of Central Europe using time slices of 200 years; Note:* n *number of burial mounds per time slice. The large upper bounds of the confidence intervals in particular periods result from having very large burial mound volumes in the data. These volumes create substantial variation in the bootstrapped values of the index, which then can lead to extreme values of the limits of the confidence intervals.*

Periods	$p-value\ G^*$	$p-value\ I_0$	$p-value\ I_1$	$p-value\ I_2$
3800-3600 BCE vs. 3600-3400 BCE	0.502	0.154	0.460	0.724
3600-3400 BCE vs. 3400-3200 BCE	0.002	0.002	0.002	0.006
3400-3200 BCE vs. 2800-2600 BCE	0.084	0.354	0.088	0.018
2800-2600 BCE vs. 2600-2400 BCE	0.020	0.026	0.014	0.004
2600-2400 BCE vs. 2400-2200 BCE	0.730	0.402	0.820	0.482
2400-2200 BCE vs. 2200-2000 BCE	0.132	0.304	0.134	0.076
2200-2000 BCE vs. 2000-1800 BCE	0.086	0.080	0.184	0.456
2000-1800 BCE vs. 1800-1600 BCE	0.002	0.002	0.004	0.074
1800-1600 BCE vs. 1600-1400 BCE	0.434	0.364	0.552	0.684
1600-1400 BCE vs. 1400-1200 BCE	0.132	0.046	0.184	0.276
1400-1200 BCE vs. 1200-1000 BCE	0.060	0.084	0.024	0.002
1200-1000 BCE vs. 1000-800 BCE	0.632	0.626	0.518	0.028
1000-800 BCE vs. 800-600 BCE	0.198	0.322	0.192	0.060
800-600 BCE vs. 600-400 BCE	0.056	0.036	0.130	0.062
600-400 BCE vs. 400-200 BCE	0.002	0.028	0.004	0.464

Table 7 *$p-values$ of the differences in G^*, I_0, I_1, and I_2 between consecutive time intervals of 200 years*

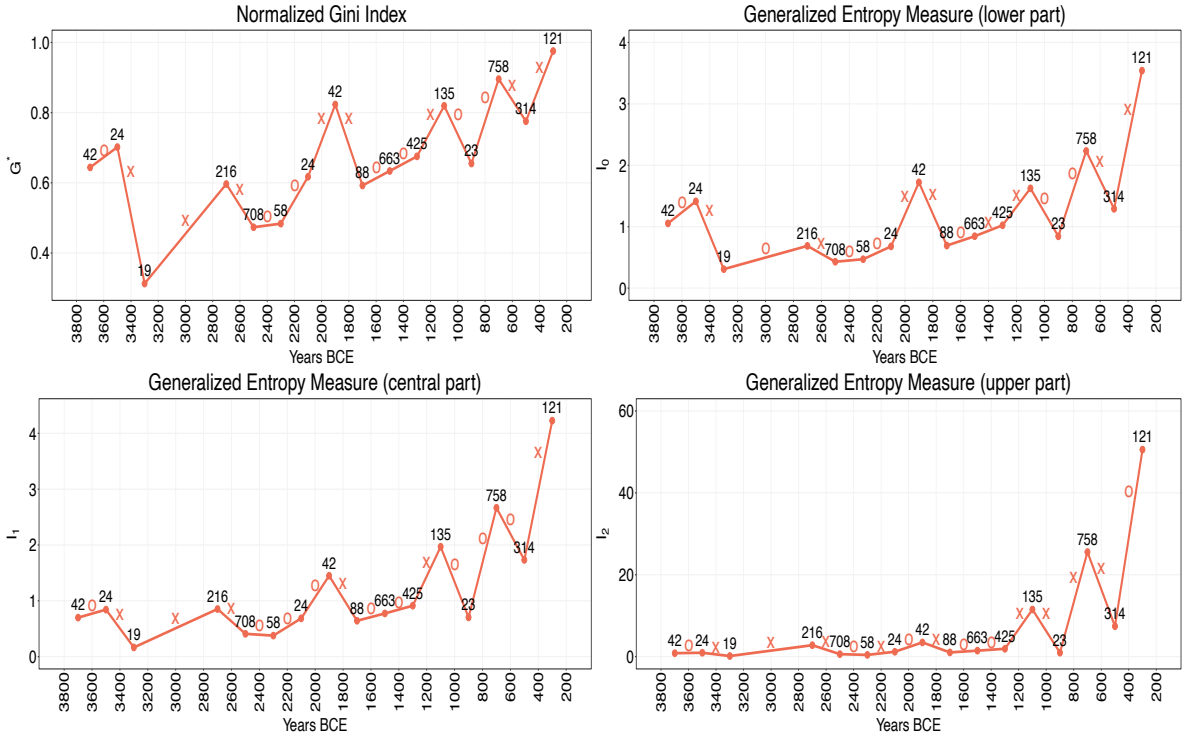

Figure 1 *Development of inequality in relational wealth between the members of the upper societal segment using time intervals of 200 years and different inequality indices. Note: An "x" indicates a statistically significant change* $(p - value \leq 0.1)$ *between two inequality estimates, whereas an "o" indicates a statistically insignificant change* $(p - value > 0.1)$*. Lines connecting two consecutive estimates are for illustrative purposes only and are not meaningful.*

Section 5 – Sensitivity Checks – 250-Year Intervals

Period	x_{min}	x_{max}	$\tilde{x}_{0.25}$	$\tilde{x}_{0.5}$	$\tilde{x}_{0.75}$	$\bar{x}$	$SD(x)$	n
3750-3500 BCE	13.02	16,755.22	155.17	921.11	4,240.57	2,720.46	3,633.90	64
3500-3250 BCE	718.39	7,665.76	2,182.29	3,099.73	4,039.58	3,301.77	1,793.04	15
2750-2500 BCE	32.71	45,976.20	452.40	883.54	1,526.82	1,310.86	2,195.12	868
2500-2250 BCE	32.71	5,746.99	481.87	1,072.31	1,795.70	1,297.30	1,139.64	107
2250-2000 BCE	89.78	32,725.04	1,047.96	1,945.05	4,356.19	4,247.05	6,726.02	24
2000-1750 BCE	32.71	56,548.57	134.06	575.16	1,526.82	3,429.79	9,273.32	43
1750-1500 BCE	23.85	33,284.12	303.06	718.39	1,795.70	1,770.12	3,436.97	233
1500-1250 BCE	2.09	36,811.18	261.80	644.13	1,994.01	1,622.43	2,953.56	718
1250-1000 BCE	10.29	56,548.57	229.01	883.54	2,094.40	2,254.78	4,857.29	359
1000-750 BCE	23.85	36,811.18	163.66	452.40	2,094.40	2,452.99	5,470.19	87
750-500 BCE	0.23	452,389.13	110.45	261.80	718.39	2,551.59	19,377.98	929
500-250 BCE	5.75	718,377.24	134.06	261.80	511.34	4,366.29	51,455.35	195
250-0 BCE	32.71	11,224.60	155.50	452.40	596.20	2,143.80	4,455.22	6

Table 8 *Summary statistics of the 250-year analysis; Note:* x_{min} *indicates the smallest* burial mound volume*,* x_{max} *the largest,* $\tilde{x}_{0.25}$ *the 25-% quartile,* $\tilde{x}_{0.5}$ *the median,* $\tilde{x}_{0.75}$ *the 75-% quartile,* $\bar{x}$ *the average* volume*,* $SD(x)$ *the standard deviation, and* n *the number of burial mounds.*

Period	G^*	$CI_{0.95}^{G^*}$	BSE_{G^*}	n
3750-3500 BCE	0.65	(0.63;0.68)	0.036	64
3500-3250 BCE	0.30	(0.29;0.32)	0.05	15
2750-2500 BCE	0.51	(0.50;0.52)	0.02	868
2500-2250 BCE	0.46	(0.45;0.47)	0.03	107
2250-2000 BCE	0.62	(0.58;0.68)	0.09	24
2000-1750 BCE	0.83	(0.79;0.87)	0.05	43
1750-1500 BCE	0.65	(0.62;0.67)	0.03	233
1500-1250 BCE	0.65	(0.64;0.66)	0.02	718
1250-1000 BCE	0.69	(0.68;0.71)	0.02	359
1000-750 BCE	0.76	(0.74;0.79)	0.04	87
750-500 BCE	0.89	(0.87;0.92)	0.02	929
500-250 BCE	0.95	(0.87;1.09)	0.14	195
250-0 BCE	0.90	(0.86;1.12)	0.23	6

Table 9 *Gini Index* (G^*)*, its bootstrapped standard error* (BSE)*, and 95-% bootstrapped confidence intervals* (CI)*for the entire region of Central Europe using time slices of 250 years; Note:* n *number of burial mounds per time slice; A value larger than 1 for the upper limit of the confidence intervals 500-250 BCE and 250-0 BCE results from having very large burial mounds in the data. These mounds create substantial variation in the bootstrapped values of the respective indices, which then can lead to extreme values of the limits of the confidence interval. Therefore, we rely on permutation tests in the main analysis.*

Period	I_0	$CI_{0.95}^{I_0}$	BSE_{I_0}	n
3750-3500 BCE	1.20	(1.07;1.40)	0.14	64
3500-3250 BCE	0.15	(0.15;0.16)	0.05	15
2750-2500 BCE	0.50	(0.48;0.53)	0.04	868
2500-2250 BCE	0.43	(0.42;0.46)	0.05	107
2250-2000 BCE	0.68	(0.62;0.90)	0.20	24
2000-1750 BCE	1.74	(1.42;2.45)	0.31	43
1750-1500 BCE	0.83	(0.77;0.93)	0.09	233
1500-1250 BCE	0.93	(0.88;0.98)	0.05	718
1250-1000 BCE	1.17	(1.08;1.29)	0.09	359
1000-750 BCE	1.43	(1.24;1.74)	0.18	87
750-500 BCE	2.14	(1.76;2.72)	0.23	929
500-250 BCE	2.84	(2.16;7.03)	1.09	195
250-0 BCE	1.75	(1.60;3.45)	0.68	6

Table 10 *GEM Index (I_0), its bootstrapped standard error (BSE), and 95-% bootstrapped confidence intervals (CI)for the entire region of Central Europe using time slices of 250 years; Note: n number of burial mounds per time slice.*

Period	I_1	$CI_{0.95}^{I_1}$	BSE_{I_1}	n
3750-3500 BCE	0.74	(0.69;0.82)	0.09	64
3500-3250 BCE	0.13	(0.13;0.14)	0.04	15
2750-2500 BCE	0.55	(0.51;0.61)	0.09	868
2500-2250 BCE	0.34	(0.33;0.36)	0.04	107
2250-2000 BCE	0.69	(0.63;0.88)	0.20	24
2000-1750 BCE	1.47	(1.23;1.99)	0.28	43
1750-1500 BCE	0.86	(0.79;0.97)	0.11	233
1500-1250 BCE	0.83	(0.78;0.89)	0.07	718
1250-1000 BCE	0.99	(0.91;1.12)	0.11	359
1000-750 BCE	1.18	(1.05;1.42)	0.16	87
750-500 BCE	2.73	(2.10;3.77)	0.33	929
500-250 BCE	4.23	(3.49;10.54)	1.42	195
250-0 BCE	1.25	(1.20;1.91)	0.44	6

Table 11 *GEM Index* (I_1)*, its bootstrapped standard error* (BSE)*, and 95-% bootstrapped confidence intervals* (CI)*for the entire region of Central Europe using time slices of 250 years; Note:* n *number of burial mounds per time slice.*

Period	I_2	$CI_{0.95}^{I_2}$	BSE_{I_2}	n
3750-3500 BCE	0.88	(0.77;1.11)	0.18	64
3500-3250 BCE	0.14	(0.14;0.15)	0.05	15
2750-2500 BCE	1.40	(1.06;2.78)	0.55	868
2500-2250 BCE	0.38	(0.37;0.41)	0.05	107
2250-2000 BCE	1.20	(1.07;2.07)	0.46	24
2000-1750 BCE	3.57	(1.98;11.69)	1.33	43
1750-1500 BCE	1.88	(1.43;2.95)	0.41	233
1500-1250 BCE	1.65	(1.32;2.34)	0.31	718
1250-1000 BCE	2.31	(1.66;4.04)	0.52	359
1000-750 BCE	2.46	(1.67;4.86)	0.65	87
750-500 BCE	28.81	(-52.58;366.47)	8.32	929
500-250 BCE	69.08	(48.40;2,238.00)	28.13	195
250-0 BCE	1.80	(1.74;3.35)	0.71	6

Table 12 *GEM Index* (I_2)*, its bootstrapped standard error* (BSE)*, and 95-% bootstrapped confidence intervals* (CI)*for the entire region of Central Europe using time slices of 250 years; Note:* n *number of burial mounds per time slice. A negative value for the lower limit of GEM Index* (I_2) *results from having very large burial mounds in the data. These mounds create substantial variation in the bootstrapped values of the respective indices, which then can lead to extreme values of the limits of the confidence interval.*

Periods	$p-value\ G^*$	$p-value\ I_0$	$p-value\ I_1$	$p-value\ I_2$
3750-3500 BCE vs. 3500-3250 BCE	0.020	0.002	0.002	0.002
3500-3250 BCE vs. 2750-2500 BCE	0.078	0.098	0.060	0.068
2750-2500 BCE vs. 2500-2250 BCE	0.292	0.626	0.212	0.122
2500-2250 BCE vs. 2250-2000 BCE	0.052	0.262	0.056	0.022
2250-2000 BCE vs. 2000-1750 BCE	0.066	0.074	0.192	0.444
2000-1750 BCE vs. 1750-1500 BCE	0.022	0.002	0.048	0.190
1750-1500 BCE vs. 1500-1250 BCE	0.942	0.500	0.794	0.642
1500-1250 BCE vs. 1250-1000 BCE	0.198	0.014	0.200	0.270
1250-1000 BCE vs. 1000-750 BCE	0.114	0.138	0.286	0.572
1000-750 BCE vs. 750-500 BCE	0.0236	0.482	0.158	0.020
750-500 BCE vs. 500-250 BCE	0.182	0.360	0.002	0.042
500-250 BCE vs. 250-0 BCE	0.220	0.208	0.222	0.136

Table 13 *$p-values$ of the differences in G^*, I_0, I_1, and I_2 between consecutive time intervals of 250 years*

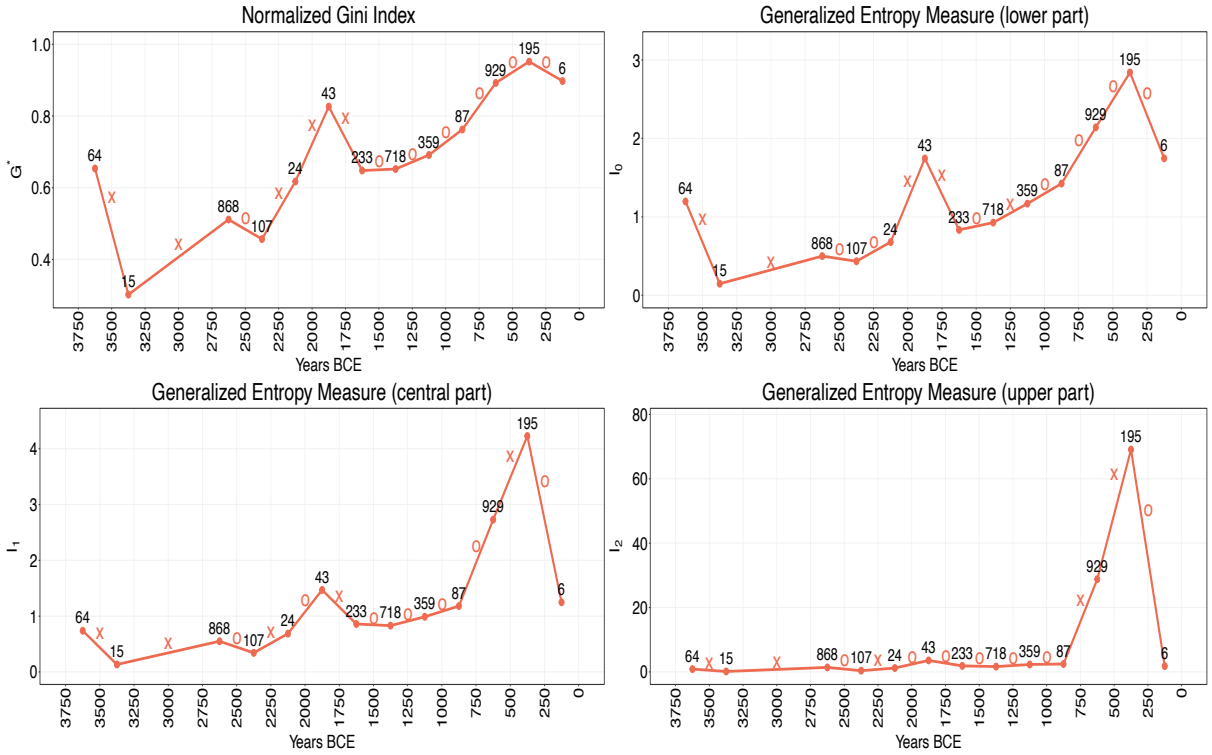

Figure 2 *Development of inequality in relational wealth between the members of the upper societal segment using time intervals of 250 years and different inequality indices. Note: An "x" indicates a statistically significant change* $(p - value \leq 0.1)$ *between two inequality estimates, whereas an "o" indicates a statistically insignificant change* $(p - value > 0.1)$*. Lines connecting two consecutive estimates are for illustrative purposes only and are not meaningful.*

Section 6 – Sensitivity Checks – 300-Year Intervals

Period	x_{min}	x_{max}	$\tilde{x}_{0.25}$	$\tilde{x}_{0.5}$	$\tilde{x}_{0.75}$	$\bar{x}$	$SD(x)$	n
3600-3300 BCE	42.71	10,289.76	106.06	157.62	3,495.16	2,117.21	2,825.34	25
3300-3000 BCE	32.71	13,349.64	2,094.40	2,842.25	3,736.98	3,503.38	2,872.40	20
3000-2700 BCE	32.71	45,976.20	452.40	883.54	1,526.82	1,717.95	4,291.90	143
2700-2400 BCE	32.71	14,305.75	452.40	883.54	1,526.82	1,237.65	1,444.89	786
2400-2100 BCE	68.63	32,725.04	452.40	1,072.31	1,945.05	1,933.39	4,277.78	59
2100-1800 BCE	32.71	56,548.57	294.50	1,072.31	2,787.61	3,332.23	7,703.81	65
1800-1500 BCE	23.85	33,284.12	303.06	718.39	1,795.70	1,762.94	3,431.35	234
1500-1200 BCE	2.09	36,811.18	303.06	883.54	2,094.40	1,941.27	3,432.81	942
1200-900 BCE	10.29	56,548.57	58.00	190.87	837.87	1,067.03	5,072.64	142
900-600 BCE	4.09	452,389.13	89.78	261.80	883.54	2,943.57	21,121.55	774
600-300 BCE	0.23	718,377.24	160.80	303.06	575.16	2,972.97	36,944.05	382
300-0 BCE	5.75	11,224.60	56.54	141.47	347.37	524.07	1,568.84	54

Table 14 *Summary statistics of the 300-year analysis; Note:* x_{min} *indicates the smallest* burial mound volume*,* x_{max} *the largest,* $\tilde{x}_{0.25}$ *the 25-% quartile,* $\tilde{x}_{0.5}$ *the median,* $\tilde{x}_{0.75}$ *the 75-% quartile,* $\bar{x}$ *the average* volume*,* $SD(x)$ *the standard deviation, and* n *the number of burial mounds.*

Period	G^*	$CI_{0.95}^{G^*}$	BSE_{G^*}	n
3600-3300 BCE	0.68	(0.65;0.73)	0.06	25
3300-3000 BCE	0.39	(0.37;0.43)	0.08	20
3000-2700 BCE	0.63	(0.60;0.68)	0.07	143
2700-2400 BCE	0.48	(0.47;0.49)	0.02	786
2400-2100 BCE	0.61	(0.57;0.68)	0.09	59
2100-1800 BCE	0.73	(0.70;0.78)	0.05	65
1800-1500 BCE	0.65	(0.63;0.67)	0.03	234
1500-1200 BCE	0.65	(0.64;0.65)	0.01	942
1200-900 BCE	0.81	(0.77;0.88)	0.08	142
900-600 BCE	0.89	(0.87;0.92)	0.03	774
600-300 BCE	0.91	(0.85;1.00)	0.09	382
300-0 BCE	0.76	(0.72;0.83)	0.08	54

Table 15 *Gini Index* (G^*)*, its bootstrapped standard error* (BSE)*, and 95-% bootstrapped confidence intervals* (CI)*for the entire region of Central Europe using time slices of 300 years; Note:* n *number of burial mounds per time slice.*

Period	I_0	$CI_{0.95}^{I_0}$	BSE_{I_0}	n
3600-3300 BCE	1.37	(1.19;1.69)	0.19	25
3300-3000 BCE	0.38	(0.36;0.52)	0.18	20
3000-2700 BCE	0.77	(0.70;0.95)	0.17	143
2700-2400 BCE	0.44	(0.43;0.45)	0.03	786
2400-2100 BCE	0.73	(0.65;0.98)	0.22	59
2100-1800 BCE	1.28	(1.08;1.66)	0.22	65
1800-1500 BCE	0.84	(0.78;0.93)	0.09	234
1500-1200 BCE	0.91	(0.88;0.96)	0.04	942
1200-900 BCE	1.60	(1.28;2.36)	0.36	142
900-600 BCE	2.21	(1.80;2.86)	0.24	774
600-300 BCE	2.27	(1.61;4.36)	0.66	382
300-0 BCE	1.24	(1.05;1.78)	0.31	54

Table 16 *GEM Index* (I_0)*, its bootstrapped standard error* (BSE)*, and 95-% bootstrapped confidence intervals* (CI)*for the entire region of Central Europe using time slices of 300 years; Note:* n *number of burial mounds per time slice.*

Period	I_1	$CI_{0.95}^{I_1}$	BSE_{I_1}	n
3600-3300 BCE	0.79	(0.71;0.99)	0.17	25
3300-3000 BCE	0.26	(0.26;0.30)	0.09	20
3000-2700 BCE	0.94	(0.834;1.30)	0.27	143
2700-2400 BCE	0.43	(0.42;0.44)	0.03	786
2400-2100 BCE	0.85	(0.76;1.23)	0.31	59
2100-1800 BCE	1.11	(0.96;1.46)	0.24	65
1800-1500 BCE	0.86	(0.79;0.98)	0.11	234
1500-1200 BCE	0.81	(0.77;0.85)	0.05	942
1200-900 BCE	1.92	(1.57;3.19)	0.54	142
900-600 BCE	2.66	(2.05;3.69)	0.34	774
600-300 BCE	3.73	(2.33;8.06)	1.06	382
300-0 BCE	1.37	(1.17;2.03)	0.38	54

Table 17 *GEM Index* (I_1)*, its bootstrapped standard error* (BSE)*, and 95-% bootstrapped confidence intervals* (CI)*for the entire region of Central Europe using time slices of 300 years; Note:* n *number of burial mounds per time slice.*

Period	I_2	$CI_{0.95}^{I_2}$	BSE_{I_2}	n
3600-3300 BCE	0.85	(0.72;1.38)	0.32	25
3300-3000 BCE	0.32	(0.31;0.38)	0.12	20
3000-2700 BCE	3.10	(2.36;9.28)	1.30	143
2700-2400 BCE	0.68	(0.64;0.75)	0.08	786
2400-2100 BCE	2.41	(2.06;6.03)	1.09	59
2100-1800 BCE	2.63	(1.80;6.55)	0.97	65
1800-1500 BCE	1.89	(1.43;3.06)	0.43	234
1500-1200 BCE	1.56	(1.33;1.95)	0.20	942
1200-900 BCE	11.22	(7.80;76.95)	4.41	142
900-600 BCE	25.71	(-42.16;302.79)	7.44	774
600-300 BCE	77.01	(-103.26;3,056.03)	31.47	382
300-0 BCE	4.40	(3.12;15.60)	1.76	54

Table 18 *GEM Index* (I_2)*, its bootstrapped standard error* (BSE)*, and 95-% bootstrapped confidence intervals* (CI)*for the entire region of Central Europe using time slices of 300 years; Note:* n *number of burial mounds per time slice. A negative value for the lower limit of GEM Index* (I_2) *results from having very large burial mounds in the data. These mounds create substantial variation in the bootstrapped values of the respective indices, which then can lead to extreme values of the limits of the confidence interval.*

Periods	$p-value\ G^*$	$p-value\ I_0$	$p-value\ I_1$	$p-value\ I_2$
3600-3300 BCE vs. 3300-3000 BCE	0.008	0.002	0.008	0.066
3300-3000 BCE vs. 3000-2700 BCE	0.194	0.454	0.250	0.204
3000-2700 BCE vs. 2700-2400 BCE	0.012	0.016	0.018	0.008
2700-2400 BCE vs. 2400-2100 BCE	0.126	0.122	0.102	0.040
2400-2100 BCE vs. 2100-1800 BCE	0.562	0.260	0.628	0.918
2100-1800 BCE vs. 1800-1500 BCE	0.214	0.040	0.304	0.426
1800-1500 BCE vs. 1500-1200 BCE	0.898	0.536	0.616	0.450
1500-1200 BCE vs. 1200-900 BCE	0.018	0.042	0.008	0.002
1200-900 BCE vs. 900-600 BCE	0.692	0.646	0.898	0.942
900-600 BCE vs. 600-300 BCE	0.806	0.936	0.228	0.190
600-300 BCE vs. 300-0 BCE	0.796	0.916	0.566	0.270

Table 19 *$p-values$ of the differences in G^*, I_0, I_1, and I_2 between consecutive time intervals of 300 years*

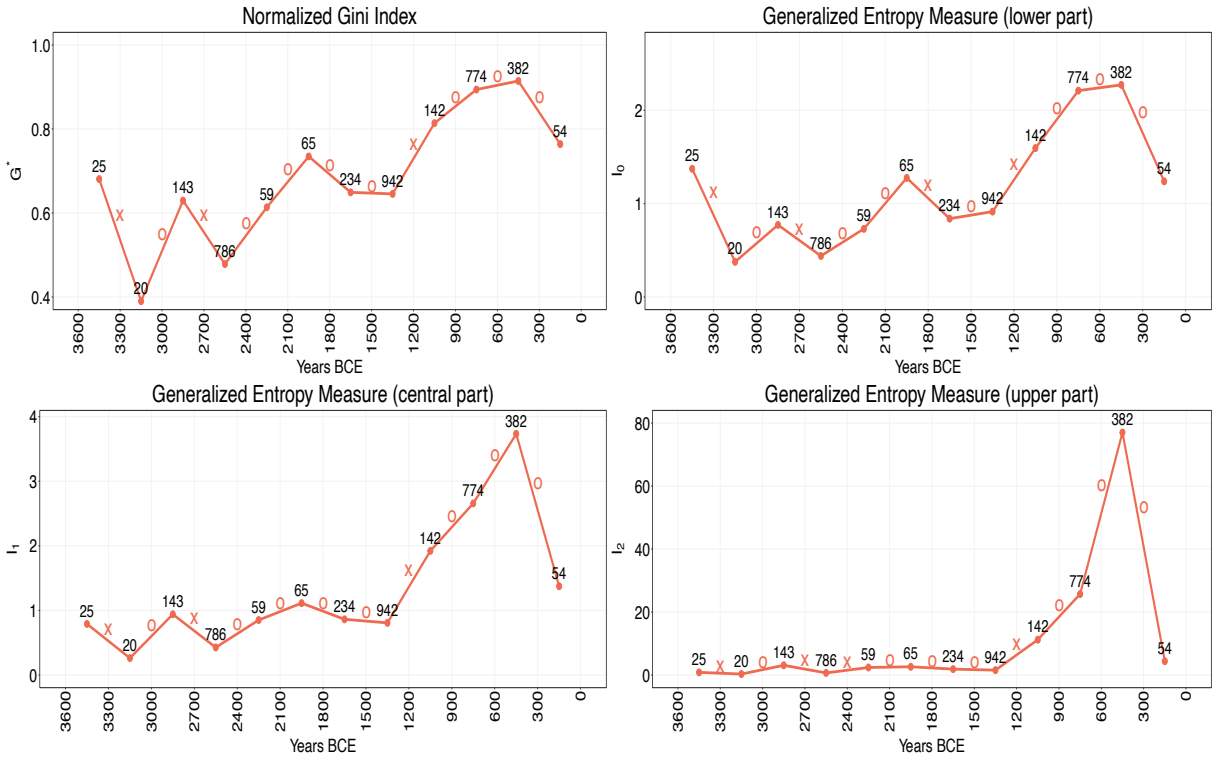

Figure 3 *Development of inequality in relational wealth between the members of the upper societal segment using time intervals of 300 years and different inequality indices. Note: An "x" indicates a statistically significant change* $(p - value \leq 0.1)$ *between two inequality estimates, whereas an "o" indicates a statistically insignificant change* $(p - value > 0.1)$*. Lines connecting two consecutive estimates are for illustrative purposes only and are not meaningful.*

Section 7 – Results from Including all Burial Mounds with Dating Length of More Than 600 Years and Less than 1,400 Years

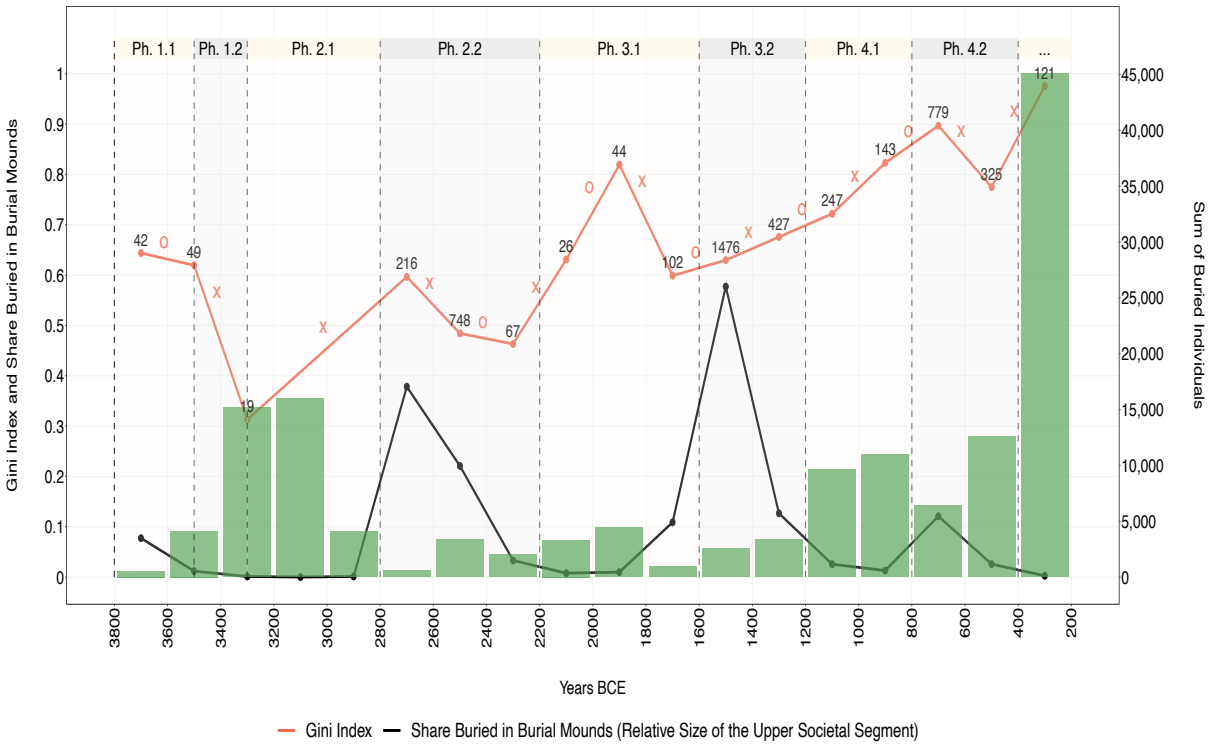

Figure 4 *Development of inequality in relational wealth between the members of the upper societal segment using time intervals of 200 years and including all burial mounds with dating length of more than 600 years and less than 1,400 years. Note: The red and black lines connecting inequality estimates and the shares of individuals buried in burial mounds for consecutive time slices are linear interpolations and not actual observations. A "x" on top of each line connecting the inequality estimates indicates if the difference in the estimates between two periods is statistically significant (p-value < 0.1). In contrast, a "o" indicates a statistically insignificant difference (p-value ≥ 0.1). The numbers on top of the inequality estimates show the sample size. The green bars represent the sum of buried individuals (burial mounds, flat graves, and collective graves) in the respective time interval captured by our data. The black line displays the share of individuals buried in burial mounds, which gives us an idea about the relative size of the population's upper societal segment and social mobility and structures. SI, Sections 4 and 7 contain the numerical results for this figure.*

Section 8 – References of the Primary Sources

Aner, E., Kersten, K., 2017. Kreise Plön und Ostholstein und die kreisfreie Hansestadt Lübeck, Die Funde der älteren Bronzezeit des nordischen Kreises in Dänemark, Schleswig-Holstein und Niedersachsen. Wachholz, Kiel/Hamburg.

Aner, E., Kersten, K., 2014. Viborg Amt., Die Funde der älteren Bronzezeit des nordischen Kreises in Dänemark, Schleswig-Holstein und Niedersachsen. Wachholz, Neumünster.

Aner, E., Kersten, K., 2011. Kreis Segeberg, Die Funde der älteren Bronzezeit des nordischen Kreises in Dänemark, Schleswig-Holstein und Niedersachsen. Wachholz, Neumünster.

Aner, E., Kersten, K., 2008. Viborg Amt, Die Funde der älteren Bronzezeit des nordischen Kreises in Dänemark, Schleswig-Holstein und Niedersachsen. Wachholz, Neumünster.

Aner, E., Kersten, K., 2005. Kreis Rendsburg-Eckernförde (südlich des Nord-Ostsee-Kanals) und die kreisfreien Städte Kiel und Neumünster, Die Funde der älteren Bronzezeit des nordischen Kreises in Dänemark, Schleswig-Holstein und Niedersachsen. Wachholz, Neumünster.

Aner, E., Kersten, K., 2001. Thisted Amt, Die Funde der älteren Bronzezeit des nordischen Kreises in Dänemark, Schleswig-Holstein und Niedersachsen. Wachholz, Neumünster.

Aner, E., Kersten, K., 1995. Ringkøbing Amt, Die Funde der älteren Bronzezeit des nordischen Kreises in Dänemark, Schleswig-Holstein und Niedersachsen. Wachholz, Neumünster.

Aner, E., Kersten, K., 1993. Kreis Steinburg, Die Funde der älteren Bronzezeit des nordischen Kreises in Dänemark, Schleswig-Holstein und Niedersachsen. Wachholz, Neumünster.

Aner, E., Kersten, K., 1991. Dithmarschen, Die Funde der älteren Bronzezeit des nordischen Kreises in Dänemark, Schleswig-Holstein und Niedersachsen. Wachholz, Neumünster.

Aner, E., Kersten, K., 1990. Vejle Amt, Die Funde der älteren Bronzezeit des nordischen Kreises in Dänemark, Schleswig-Holstein und Niedersachsen. Wachholz, Neumünster.

Aner, E., Kersten, K., 1986. Ribe Amt, Die Funde der älteren Bronzezeit des nordischen Kreises in Dänemark, Schleswig-Holstein und Niedersachsen. Wachholz, Neumünster.

Aner, E., Kersten, K., 1984. Nordslesvig-Nord, Haderslev Amt, Die Funde der älteren Bronzezeit des nordischen Kreises in Dänemark, Schleswig-Holstein und Niedersachsen. Wachholz, Neumünster.

Aner, E., Kersten, K., 1981. Nordslesvig-Syd, Tønder, Åbenrå und Sønderborg Amter, Die Funde der älteren Bronzezeit des nordischen Kreises in Dänemark, Schleswig-Holstein und Niedersachsen. Wachholz, Neumünster.

Aner, E., Kersten, K., 1979. Südschleswig-West. Nordfriesland., Die Funde der älteren Bronzezeit des nordischen Kreises in Dänemark, Schleswig-Holstein und Niedersachsen. Wachholz, Neumünster.

Aner, E., Kersten, K., 1978. Südschleswig-Ost. Die Kreise Schleswig-Flensburg und Rendsburg-Eckernförde (nördlich des Nord-Ostsee-Kanals), Die Funde der älteren Bronzezeit des nordischen Kreises in Dänemark, Schleswig-Holstein und Niedersachsen. Wachholz, Neumünster.

Aner, E., Kersten, K., 1977. Bornholms, Maribo, Odense und Svendborg Amter, Die Funde der älteren Bronzezeit des nordischen Kreises in Dänemark, Schleswig-Holstein und Niedersachsen. Wachholz, Neumünster.

Aner, E., Kersten, K., 1976. Holbæk, Sorø und Ræstø Amter, Die Funde der älteren Bronzezeit des nordischen Kreises in Dänemark, Schleswig-Holstein und Niedersachsen. Wachholz, Neumünster.

Aner, E., Kersten, K., 1973. Frederiksborg und Københavns Amter, Die Funde der älteren Bronzezeit des nordischen Kreises in Dänemark, Schleswig-Holstein und Niedersachsen. Wachholz, Neumünster.

Asmus, W., 1956. Beobachtungen an Untergräbern der Einzelgrabkultur in Niedersachsen, in: Zylmann, P. (Ed.), Zur Ur- Und Frühgeschichte Nordwestdeutschlands. Neue

Untersuchungen Aus Dem Gebiet Zwischen Ijssel Und Ostsee. Lax, Hildesheim, pp. 75–84.
Asmus, W., 1948. Die Ausgrabung von steinzeitlichen Hügeln auf dem Gräberfeld von Melzingen, Kr. Uelzen. Nachrichten aus Niedersachsens Urgeschichte 17, 3–50.
Aust, H., 1958. Die Steinkiste von Flögeln. Die Kunde 4, 142–145.
Bath, F.C., 1957. Ausgrabung eines Einzelgrabhügels in Böddenstedt, Kr. Uelzen. Die Kunde 3, 186–190.
Beier, H.-J., 1988. Die Kugelamphorenkultur im Mittelelbe-Saale-Gebiet und in der Altmark, Veröffentlichungen des Landesamtes für Denkmalpflege und Archäologie Sachsen-Anhalt - Landesmuseum für Vorgeschichte. Dt. Verl. der Wiss, Berlin.
Beneš, A., Michálek, J., Zavřel, P., 1999. Archeologické nemovité památky okresu České Budějovice. Archeologický ústav AV ČR, Praha.
Bergmann, J., 1962a. Ein Hügelgrab mit Kreisgraben am "Stedinger Weg", Gem. Dötlingen, Landkreis Oldenburg. Die Kunde 13, 109–113.
Bergmann, J., 1962b. Hügelgräber der älteren Bronzezeit bei Hölingen, Gemeinde Reckum, Kreis Grafschaft Hoya. Die Kunde 13, 53–100.
Bourgeois, Q.P.J., 2013. Monuments on the Horizon. The Formation of the Barrow Landscape throughout the 3rd and 2nd Millenium BC. Sidestone Press, Leiden.
Brozio, J.P., Hage, F. (Eds.), 2013. Zwei Studien zu den neolithischen und bronzezeitlichen Grabanlagen der Lüneburger Heide, Beiträge zur Archäologie in Niedersachsen. Marie Leidorf, Rahden/Westf.
Brunner, M., Laabs, J., Rutishauser, S., 2019. Grabhügel im Forst bei Bern – Bekanntes neu entdeckt. Archäologie Bern - Jahrbuch des Archäologischen Dienstes des Kantons Bern 176–183. http://dx.doi.org/10.5169/seals-841909
Chvojka, O., Michalek, J., 2011. Výzkumy Josefa Ladislava Píce na mohylových pohrebistích doby bronzové a halstatské v jiznich Cechách, Fontes Archaeologici Pragenses. Museum Nationale, Praha.
Claus, M., 1973. Ein frühbronzezeitlicher Grabhügel auf dem Rotenberg bei Pöhlde, Kr. Osterode a.H. Nachrichten aus Niedersachsens Urgeschichte 42, 238–244.
Cordie, R., 1993. Das eisenzeitliche Hügelgräberfeld von Bescheid, Kreis Trier-Saarburg, Trierer Zeitschrift für Geschichte und Kunst des Trierer Landes und seiner Nachbargebiete. Beiheft. Rheinisches Landesmuseum, Trier.
Cordie-Hackenberg, R., 1995. Die eisenzeitlichen Hügelgräberfelder von Steineberg und Zeltingen. Trierer Zeitschrift für Geschichte und Kunst des Trierer Landes und seiner Nachbargebiete 58, 7–68.
Cosack, E., 1998. Neue bronze- und eisenzeitliche Gräberfelder aus dem Regierungsbezirk Hannover, Materialhefte zur Ur- und Frühgeschichte Niedersachsens. Reihe A. Hahn, Hannover.
Čujanová Jílková, E., 1990. Some peculiar features of the Middle Bronze Age Barrow Culture in the West Bohemia and its western vicinity. Anthopologie 28, 207–2011.
Čujanová Jílková, E., 1981. Kulturní vztahy západních Čech k sousedním oblastem na počátku střední doby bronzové. Památky archaeologické 72, 300–339.
Čujanová Jílková, E., 1970. Mittelbronzezeitliche Hügelgräberfelder in Westböhmen, Archeologické studijní materiály. Archeologický ústav ČSAV, Praha.
Čujanová Jílková, E., 1958. Nejstarší a nejmladší horizont mohylové keramiky na pohřebišti v PlzniNové Hospodě. Památky archaeologické 49, 312–347.
Cwaliński, M., 2010. Kurhan w kulturze mogilowej. Analiza konstrukcji na podstawie cmentarzysk ze zska i Wielkopolski (Master thesis). University of Poznań, Poznań.
Cwaliński, M., Niebieszczański, J., 2012. The Tumulus Culture Burial Mounds in Southwestern Poland. Construction of the Barrows and Their Place in the Landscape, in: Kneisel, J., Kirleis, W., Dal Corso, M., Taylor, N., Tiedtke, V. (Eds.), Collapse or Continuity?

Environment and Development of Bronze Age Human Landscapes. Proceedings of the International Workshop “Socio-Environmental Dynamics over the Last 12,00 Years: The Creation of Landscapes II (14th-18th March 2011)” in KIel, Universitätsforschungen Zur Prähistorischen Archäologie. Dr. Rudolf Habelt, Bonn, pp. 235–256.
David-Elbiali, M., 2000. La Suisse occidentale au 2e millénaire av.J.-C. Chronologie, culture, intégration européenne, Cahiers d’archéologie romande. Cahiers d’archéologie romande, Lausanne.
Dehn, W., 1936. Ein Grabhügelfeld bei Wintersdorf a. d. Sauer. Grabfunde der Urnenfelderzeit (HzA), der späten Hallstattzeit und der ältere Latènezeit. Trierer Zeitschrift für Geschichte und Kunst des Trierer Landes und seiner Nachbargebiete 11, 1–45.
Dehnke, R., 1965. Untersuchung eines bronzezeitlichen Grabhügels in der Gilkenheide bei Schwitschen, Kr. Rotenburg/Wümme. Nachr. Niedersachsen Urgeschichte. Nachrichten aus Niedersachsens Urgeschichte 34, 86–89.
Dehnke, R., 1963. Untersuchungen an Hügelgräbern der Einzelgrabkultur in Weitzmühlen, Kr. Verden. Nachrichten aus Niedersachsens Urgeschichte 32, 93–95.
Deichmüller, J., 1974. Ein Glockenbechergrab bei Wallhöfen, Gemeinde Vollersode, Kr. Osterholz. Die Kunde 25, 53–69.
Deichmüller, J., 1966. Hügelgräberuntersuchungen bei Harsefeld, Kr. Stade. Nachrichten aus Niedersachsens Urgeschichte 35, 59–68.
Deichmüller, J., 1964. Bronzezeitliche Hügelgräber bei Hülseberg, Kr. Osterholz. Nachrichten aus Niedersachsens Urgeschichte 33, 86–87.
Deichmüller, J., 1963a. Bronzezeitliche Hügelgräber bei Malstedt, Kr. Bremervörde. Nachrichten aus Niedersachsens Urgeschichte 32, 108–109.
Deichmüller, J., 1963b. Ein Hügelgrab bei Etelsen, Kr. Verden/Aller. Nachrichten aus Niedersachsens Urgeschichte 32, 105–108.
Deichmüller, J., 1963c. Ein Hügelgräberfeld bei Goldbeck, Kreis Stade. Nachrichten aus Niedersachsens Urgeschichte 32, 87–92.
Deichmüller, J., 1962a. Ein Hügelgräberfeld bei Goldbeck, Kreis Stade. Nachrichten aus Niedersachsens Urgeschichte 31, 127–132.
Deichmüller, J., 1962b. Frühbronzezeitliche Grabhügel in der Gemarkung Bonstorf, Kreis Celle. Nachrichten aus Niedersachsens Urgeschichte 31, 125–127.
Deichmüller, J., 1961. Jungsteinzeitliche Grabhügel bei Scharnhorst, Krs. Verden/Aller. Nachrichten aus Niedersachsens Urgeschichte 30, 65–67.
Deichmüller, J., 1957. Ein bronzezeitlicher Grabhügel mit Kreisgraben bei Schwanewede. Die Kunde 3, 200–206.
Dobiat, C., 1994. Forschungen zu Grabhügelgruppen der Urnenfelderzeit im Marburger Raum, Marburger Studien zur Vor- und Frühgeschichte. Hitzeroth, Marburg.
Dobiat, C., 1980. Das hallstattzeitliche Gräberfeld von Kleinklein und seine Keramik, Schild von Steier Beiheft. Abt. für Vor- u. Frühgeschichte u. Münzensammlung am Landesmuseum Joanneum, Graz.
Ebner, K., 2001. Die mittlere Bronzezeit in Südthüringen (Dissertation). University of Marburg, Marburg.
Endrigkeit, A., 2014. Älter- und mittelbronzezeitliche Bestattungen zwischen Nordischem Kreis und süddeutscher Hügelgräberkultur, Frühe Monumentalität und soziale Differenzierung. Dr. Rudolf Habelt GmbH, Bonn.
Engels, H.J., Kilian, L., 1970. Das Hügelgräberfeld von Miesau, Kreis Kusel. Mitteilungen des Historischen Vereins Pfalz 68, 158–182.
Ernée, M. (Ed.), 2020. Mikulovice. Pohřebiště starší doby bronzové na Jantarové stezce. Early Bronze Age Cemetery on the Amber Road, Památky archeologické Supplementum. Institute of Archeology of the Czech Academy of Sciences, Masaryk University, Praha.

Ernée, M., 2015. Prag-Miškovice. Archäologische und naturwissenschaftliche Untersuchungen zu Grabbau, Bestattungssitten und Inventaren einer frühbronzezeitlichen Nekropole, Römisch-Germanische Forschungen. Philipp von Zabern, Darmstadt.
Finke, W., 1967. Grabhügel der vorrömischen Eisenzeit in Barel, Gemeinde Dötlingen. Nachrichten aus Niedersachsens Urgeschichte 36, 185–186.
Fischer, U., 1956. Die Gräber der Steinzeit im Saalegebiet: Studien über neolithische und frühbronzezeitliche Grab- und Bestattungsformen in Sachsen-Thüringen, Vorgeschichtliche Forschungen. de Gruyter, Berlin.
Frey, O.H., Herrmann, F.R., 1997. Ein frühkeltischer Fürstengrabhügel am Glauberg im Wetteraukreis. Germania 75, 459–550.
Fritsch, T., 2010. Das Hügelgräberfeld der späten Hunsrück-Eifel-Kultur von Schwarzenbach, Kreis St. Wendel, Flur "In der Kripp." Landesarchäologie Saar 27–42.
Gabriel, I., 1963. Untersuchung eines Grabhügels bei Langendamm, Kreis Nienburg / Weser. Die Kunde 14, 143–164.
Gerdsen, H., 1986. Studien zu den Schwertgräbern der älteren Hallstattzeit. Philipp von Zabern, Mainz.
Geschwinde, M., 2000. Die Hügelgräber auf der Großen Heide bei Ripdorf im Landkreis Uelzen. Archäologische Beobachtungen zu den Bestattungssitten des SPätneolithikums und der Bronzezeit in der Lüneburger Heide, Göttinger Schriften zur Vor- und Frühgeschichte. Wachholz, Neumünster.
Görner, I., 2002. Bestattungssitten der Hügelgräberbronzezeit in Nord- und Osthessen, Marburger Studien zu Vor- und Frühgeschichte. Marie Leidorf, Rahden/Westf.
Gramsch, A., 2011. Das Urnengräberfeld von Cottbus Alvensleben-Kaserne (Brandenburg): Bestattungsrituale als kommunikative Handlung. TÜVA Mitteilungen 12, 51–69.
Großmann, R., 2016. Das dialektische Verhältnis von Schnurkeramik und Glockenbecher zwischen Rhein und Saale, Universitätsforschungen zur prähistorischen Archäologie. Dr. Rudolf Habelt GmbH, Bonn.
Haffner, A., 1962. Ausgrabung zweier Grabhügel in Jägersburg (Kr. Homburg). Beiträge zur Saarländischen Archäologie und Kunstgeschichte 9, 35–39.
Haffner, A., Groß, N., 1969. Ein Gräberfeld der jüngeren Hunsrück-Eifel-Kultur von Losheim, Kr. Merzig-Wadern. Bericht der Staatlichen Denkmalpflege im Saarland. Abteilung Bodendenkmalpflege / Saarland Konservatoramt 16, 61–103.
Hage, F., 2009. Das bronzezeitliche Gräberfeld von Wittenwater, Lkr. Uelzen (Magister Thesis). University of Kiel, Kiel.
Häßler, H.J., 1974. Hügelgräberfunde der späten Bronze- und frühen Eisenzeit aus dem Kreis Stade. Hammaburg N.F. 1, 27–44.
Helmke, P., 1929. Grabhügel der jüngeren Steinzeit in der Gemarkung Nonnenroth (Kr. Gießen). Germania 13, 202–205.
Herring, B., 2009. Die Gräber der frühen bis mittleren Bronzezeit in Westfalen: eine Analyse der Bestattungssitten unter besonderer Berücksichtigung des Grabbaus und ihre Einbettung in die angrenzenden Gebiete, Bodenaltertümer Westfalens. Philipp von Zabern, Mainz.
Herrmann, J. (Ed.), 1989. Archäologie in der Deutschen Demokratischen Republik: Denkmale und Funde. Theiss, Stuttgart.
Heyd, V., 2000. Die Spätkupferzeit in Süddeutschland: Untersuchungen zur Chronologie von der ausgehenden Mittelkupferzeit bis zum Beginn der Frühbronzezeit im süddeutschen Donaueinzugsgebiet und den benachbarten Regionen bei besonderer Berücksichtigung der keramischen Funde, Saarbrücker Beiträge zur Altertumskunde. Habelt, Bonn.
Hille, A., 2012. Die Glockenbecherkultur in Mitteldeutschland, Veröffentlichungen des Landesamtes für Denkmalpflege und Archäologie Sachsen-Anhalt - Landesmuseum für

Vorgeschichte. Landesamt für Denkmalpflege und Archäologie, Landesmuseum für Vorgeschichte, Halle an der Saale.
Hochhold, M., 2016. Der Wandel der Grab- und Beigabensitten am Übergang von der Bronze- zur Eisenzeit im ostalpinen Raum. Ein regionaler Vergleich am Beispiel des urnenfelder- und hallstattzeitlichen Gräberfeldes von Traunkirchen, OÖ (Dissertation). Universität Wien, Wien.
Hochuli, S., Niffeler, U., Rychner, V. (Eds.), 1998. SPM III. Bronzezeit, Die Schweiz vom Paläolithikum bis zum Mittelalter. Vom Neandertaler bis zu Karl dem Grossen. Verlag Schweizerische Gesellschaft für Ur- und Frühgeschichte, Basel.
Holsten, H., 1987. Bericht über die Ergebnisse der Ausgrabung von vier Grabhügeln bei Unterstedt, Stadt Rotenburg, Ldkr. Rotenburg (Wümme). Nachrichten aus Niedersachsens Urgeschichte 56, 333–341.
Hralová, J., 1993. Das Hügelgräberfeld in Újezd U Radnic, Fontes archaeologici Pragense. Museum Nationale, Praha.
Hübner, E., 2005. Jungneolithische Gräber auf der Jütischen Halbinsel. Typologische und chronologische Studien zur Einzelgrabkultur, Nordiske Fortidsminder. Serie B. Det Kongelige Nordiske Oldskriftselskab, København.
Joachim, H.-E., 1990. Das eisenzeitliche Hügelgräberfeld von Bassenheim, Kreis Mayen-Koblenz, Rheinische Ausgrabungen. Rheinland-Verlag, Köln.
Just, F., 1968. Das Hügelgrab von Neu Grebs, Kreis Ludwigslust. Bodendenkmalpflege in 191–210.
Kaczmarek, M., 2015. Dolice: barrow cemeteries from the Late Bronze Age in Western Pomerania, Hyperborea : Poznańskie Studia nad Epoką Brązu i Wczesną Epoką Żelaza. Uniwersytet im. Adama Mickiewicza w Poznaniu, Instytut Prahistorii, Poznań.
Kersten, W., 1940. Das Grabhügelfeld von Brühl-Heide (Landkreis Köln). Bonner Jahrbücher 145, 234–246.
Kilian, L., 1974a. Latènezeitliche Grabhügel von Langenbach, Kreis Kusel. Mitteilungen des Historischen Vereins Pfalz 71, 53–58.
Kilian, L., 1974b. Untersuchungen am Mehrperiodengräberfeld von Dannstadt, Kreis Ludwigshafen. Mitteilungen des Historischen Vereins Pfalz 71, 11–52.
Kilian, L., 1972. Grabhügel der Bronze-, Hallstatt- und Latènezeit von Rülzheim, Kreis Germersheim. Mitteilungen des Historischen Vereins Pfalz 70, 101–110.
Körner, G., 1959. Ein bronzezeitlicher Mehrperiodenhügel bei Deutsch-Evern im Landkreis Lüneburg. Nachrichten aus Niedersachsens Urgeschichte 28, 3–19.
Körner, G., 1950. Grabhügel 3 von Betzendorf, Kr. Lüneburg. Hammaburg 2, 59–64.
Körner, G., 1949. Ein Einzelgrabhügel bei Melbeck, Kr. Lüneburg. Hammaburg 1, 38–42.
Kossian, R., 2005. Nichtmegalithische Grabanlagen der Trichterbecherkultur in Deutschland und den Niederlanden, Veröffentlichungen des Landesamtes für Denkmalpflege und Archäologie Sachsen-Anhalt - Landesmuseum für Vorgeschichte. Landesamt für Denkmalpflege und Archäologie Sachsen-Anhalt, Landesmuseum für Vorgeschichte, Halle (Saale).
Kovařova, T., Krištuf, P., 2007. Mohylova pohřebiště v Polesi Vytůň (Okr. Domažlice), in: Krištuf, P., Šmejda, L., Vařeka, P. (Eds.), Opomijena Archeologie 2005 – 2006. Katedra archeologie Fakulty filozofické Západočeské univerzity v Plzni, Plzeň, pp. 141–147.
Kowiańska-Piaszykowa, M., 2008. The Barrow burial ground from the early bronze age in Łęki Małe, Wielkopolska (Greater Poland) Region, Bibliotheca Fontes archaeologici Posnanienses. Muzeum Archeologiczne, Poznań.
Krištuf, P., Praumová, R., Švejcar, O., 2011. Prostorové uspořádání mohylových pohřebišť na Plzeňsku. Acta Fakulty filozofické Západočeské univerzity v Plzni 4, 104–128.
Kroll, H., 1938. Der vorgeschichtliche Friedhof auf dem Radberg in Hülsten, Kr. Borken (Westfalen), Mitteilung aus dem Ruhrland-Museum der Stadt Essen. Essen.

kulturarv.dk, 2022. Fund og Fortidsminder. Nationalt register over fortidsminder, og steder, hvor museerne har gjort arkæologiske fund. Kobenhaven.
Kunkel, O., 1919. Vorgeschichtliches aus dem Lumdatale 1. Das Hügelgräberfeld am Homberg bei Climbach. Alfred Tölpelmann, Gießen.
Kunter, K., 1976a. Die Unrnenfelderbronzezeit im Kreis Gießen, in: Jorns, W. (Ed.), Inventar Der Urgeschichtlichen Geländedenkmäler Und Funde Des Stadt- Und Landkreises Gießen, Materialien Zur Vor- Und Frühgeschichte von Hessen. Landesamt für Denkmalpflege Hessen, Darmstadt, pp. 97–148.
Kunter, K., 1976b. Frühe und Hügelgräberbronzezeit im Kreis Gießen, in: Jorns, W. (Ed.), Inventar Der Urgeschichtlichen Geländedenkmäler Und Funde Des Stadt- Und Landkreises Gießen, Materialien Zur Vor- Und Frühgeschichte von Hessen. Landesamt für Denkmalpflege Hessen, Darmstadt, pp. 81–96.
Lang, F., 1896. Mohyly Milavečske a Chrastavické. Památky archeologické 17, 625–634.
Laux, F., 2010. Ein Frauengrab aus Klein Nindorf, Gde. Beckdorf, Ldkr. Stade. Überlegungen zu den älter- und mittelbronzezeitlichen Frauenbestattungen der Stader Gruppe. Nachrichten aus Niedersachsens Urgeschichte 79, 11–45.
Laux, F., 1977. Das Hügelgräberfeld von Deutsch Evern. Lüneburger Blätter 23, 77–100.
Laux, F., 1974. Ein bemerkenswerter Grabfund der Einzelgrabkultur im Stadtforst “Bilmerstrauch” bei Lüneburg. Die Kunde 25, 43–51.
Laux, F., 1973. Neolithische Brandbestattungen aus der Lüneburger Heide. Die Kunde 24, 75–96.
Laux, F., 1971. Die Bronzezeit in der Lüneburger Heide, Veröffentlichungen der Urgeschichtlichen Sammlungen des Landesmuseums zu Hannover. Lax, Hildesheim.
Laux, F., 1965a. Notgrabung eines bronzezeitlichen Grabhügels bei Osterheeslingen, Gem. Heeslingen, Kr. Bremervörde. Nachrichten aus Niedersachsens Urgeschichte 34, 85–86.
Laux, F., 1965b. Untersuchung zweier Grabhügel in der Feldmark Etelsen, Kr. Verden. Nachrichten aus Niedersachsens Urgeschichte 34, 77–79.
Linke, F.A., 1980. Untersuchung eines Grabhügels in der Gemarkung Leschede, Gemeinde Emsbüren, Ldkr. Emsland. Nachrichten aus Niedersachsens Urgeschichte 49, 119–129.
Linke, F.A., Peters, H.G., 1974. Die Ausgrabung eines Grabhügels im Saupark bei Springe. Nachrichten aus Niedersachsens Urgeschichte 43, 109–112.
Lischewski, P., 1976. Die Jungsteinzeit im Kreis Gießen, in: Jorns, W. (Ed.), Inventar Der Urgeschichtlichen Geländedenkmäler Und Funde Des Stadt- Und Landkreises Gießen, Materialien Zur Vor- Und Frühgeschichte von Hessen. Landesamt für Denkmalpflege Hessen, Darmstadt, pp. 7–80.
Lomborg, E., 1973. Die Flintdolche Dänemarks. Studien über Chronologie und Kulturbeziehungen des südskandinavischen Spätneolithikums, Nordiske Fortidsminder. Serie B. Lynge og Søn, København.
Lucas, H., 1965. Kataloge zur mitteldeutschen Schnurkeramik, Teil II: Saalemündungsgebiet, Veröffentlichungen des Landesamtes für Denkmalpflege und Archäologie Sachsen-Anhalt - Landesmuseum für Vorgeschichte. Dt. Verl. der Wiss., Berlin.
Maisant, H., 1973. Grabhügel der Hallstattzeit in Saarlouis-Fraulautern. Zweite Grabungskampagne auf der „Steinrausch“ (1972/73). Beiträge zur Saarländischen Archäologie und Kunstgeschichte, 61-106 20.
Maisant, H., 1972. Die Öffnung von drei Grabhügeln der späten Hallstattzeit auf der „Steinrausch“ in Saarlouis-Fraulautern 1970/71. Beiträge zur Saarländischen Archäologie und Kunstgeschichte, 43-64 19.
Maličky, J., 1957. Nové mohyly u Lochovic. Archeologické rozhledy 9, 601–608.

Matthias, W., 1987. Kataloge zur mitteldeutschen Schnurkeramik, Teil VI: Restgebiete und Nachträge, Veröffentlichungen des Landesamtes für Denkmalpflege und Archäologie Sachsen-Anhalt - Landesmuseum für Vorgeschichte. Dt. Verl. der Wiss., Berlin.

Matthias, W., 1982. Kataloge zur mitteldeutschen Schnurkeramik, Teil IV: Mittleres Saalegebiet, Veröffentlichungen des Landesamtes für Denkmalpflege und Archäologie Sachsen-Anhalt - Landesmuseum für Vorgeschichte. Dt. Verl. d. Wiss., Berlin.

Matthias, W., 1974. Kataloge zur mitteldeutschen Schnurkeramik, Teil IV: Südharz-Unstrut-Gebiet. Ulrich Fischer dem führenden Spezialisten auf dem Gebiete der Schnurkeramikforschung anläßlich seines 60. Geburtstages am 3. Juli 1957 in kollegialer Verbundenheit gewidmet, Veröffentlichungen des Landesamtes für Denkmalpflege und Archäologie Sachsen-Anhalt - Landesmuseum für Vorgeschichte. Dt. Verl. der Wiss., Berlin.

Matthias, W., 1968. Kataloge zur mitteldeutschen Schnurkeramik, Teil III: Nordharzgebiet, Veröffentlichungen des Landesamtes für Denkmalpflege und Archäologie Sachsen-Anhalt - Landesmuseum für Vorgeschichte. Dt. Verl. der Wiss., Berlin.

Matthias, W., 1959. Kataloge zur mitteldeutschen Schnurkeramik, Teil I: Thüringen, Veröffentlichungen des Landesamtes für Denkmalpflege und Archäologie Sachsen-Anhalt - Landesmuseum für Vorgeschichte. Niemeyer, Halle.

Mecke, B., 1998. Die Urnenfriedhöfe von Rhede, Kr. Borken, Bottrop, Stkr. und Warendorf-Milte, Kreis Warendorf: Studien zu jüngerbronze- und ältereisenzeitlichen Gräberfeldern des westlichen Westfalens (Dissertation). University of Münster, Münster.

Menšík, P., Krištuf, P., Chvojka, O., 2010. Mohylová pohřebiště na okrese Tábor. Katedra archeologie Fakulty filozofické Západočeské univerzity v Plzni, Plzeň.

Müller, J., 2001. Soziochronologische Studien zum Jung- und Spätneolithikum im Mittelelbe-Saale-Gebiet (4100-2700 v.Chr), Vorgeschichtliche Forschungen. Marie Leidorf, Rahden/Westf.

Müller-Scheeßel, N., 2013. Untersuchungen zum Wandel hallstattzeitlicher Bestattungssitten in Süd- und Südwestdeutschland, Universitätsforschungen zur prähistorischen Archäologie. Dr. Rudolf Habelt GmbH, Bonn.

Nahrgang, K., 1967. Landkreis Offenbach a.M., Inventar der Bodendenkmäler. Amt für Bodendenkmalpflege, Darmstadt.

Neumann, I., Tempel, W.D., 1997. Nr. 106, Tiste FStNr. 11,12, und 44, Gd. Tiste, Ldkr. Rotenburg (Wümme), Reg. Bez. Lüneburg. Nachrichten aus Niedersachsens Urgeschichte 66.

Nowothnig, W., 1968. Ein Grabhügel mit Kreisgraben bei Thönse, Kr. Burgdorf. Nachrichten aus Niedersachsens Urgeschichte 37, 144–146.

Pätzold, J., 1958. Dreischichtiger Grabhügel der Einzelgrabkultur bei Holzhausen, Gmd. Wildeshausen (Oldb.). Nachrichten aus Niedersachsens Urgeschichte 27, 3–13.

Peters, H.G., 1966. Notgrabung an zwei Grabhügeln in der Gemarkung Aslage bei Ankum, Kr. Bersenbrück. Nachrichten aus Niedersachsens Urgeschichte 35, 77–78.

Polenz, H., 1976. Die Jungsteinzeit im Kreis Gießen, in: Jorns, W. (Ed.), Inventar Der Urgeschichtlichen Geländedenkmäler Und Funde Des Stadt- Und Landkreises Gießen, Materialien Zur Vor- Und Frühgeschichte von Hessen. Landesamt für Denkmalpflege Hessen, Darmstadt, pp. 197–252.

Preuss, J., 1966. Die Baalberger Gruppe in Mitteldeutschland, Veröffentlichungen des Landesamtes für Denkmalpflege und Archäologie Sachsen-Anhalt - Landesmuseum für Vorgeschichte. Dt. Verl. der Wiss., Berlin.

Radosław, J., 2017. Cmentarzysko kurhanowe ludności kultury pomorskiej w Żakowie, gm. Sulęczyno. Badania w latach 2014–2015. Materiały Zachodniopomorskie Nowa Seria 8, 35–54.

Ramsl, P.C., 2020. Diversity of Male Identities in Early and Middle La Tène Cemeteries in Central Europe, Archaeologica Slovaca Monographiae. Archeologický ústav SAV, Nitra.
Rebay, K.C., 2006. Das hallstattzeitliche Gräberfeld von Statzendorf in Niederösterreich, Universitätsforschungen zur Prähistorischen Archäologie. Dr. Rudolf Habelt, Bonn.
Rennebach, G., Schmidt, J.-P., 2005. Archäologische Untersuchungen an bronzezeitlichen Hügelgräbern bei Promoisel, Lkr. Rügen. Bodendenkmalpflege Mecklenburg-Vorpommern 53, 7–45.
Rest, W., 1948. Das Grabhügelfeld von Bell im Hunsrück. Bonner Jahrbücher 148, 133–189.
Rochna, O., 1963. Früheisenzeitliche Hügelgrabgruppen im Nordteil des Kreises Soltau. Die Kunde 14, 172–201.
Rzepecki, S., 2011. The roots of megalithism in the TRB culture. Instytut Archeologii Uniwersitetu Łódzkiego, Łódź.
Sankot, P., 2003. Les épées du début de La Tène en Bohême, Fontes archaeologici Pragenses. Museum Nationale, Praha.
Schirnig, H., Heinemann, B., 1970. Hügelgräber der älteren Bronzezeit in Oldenstadt, Kreis Uelzen. Neue Ausgrabungen und Forschungen in Niedersachsen 6, 6–24.
Schlicht, E., 1964. Untersuchung von zwei Grabhügeln in Wachendorf, Kr. Lingen/Ems. Nachrichten aus Niedersachsens Urgeschichte 33, 92–93.
Schlicht, E., 1958. Die Untersuchung eines Grabhügels bei Wehm, Kreis Aschendorf-Hümmling. Die Kunde 4, 135–142.
Schmidt, J.-P., 2007. Die älterbronzezeitlichen Gräber von Thürkow, Lkr. Güstrow. Bodendenkmalpflege Mecklenburg-Vorpommern 55, 67–118.
Schubart, H., 1976. Die Funde der älteren Bronzezeit in Mecklenburg, Offa-Bücher. Wachholz, Neumünster.
Schumacher, A., Schumacher, E., 1976. Die Jungsteinzeit im Kreis Gießen, in: Jorns, W. (Ed.), Inventar Der Urgeschichtlichen Geländedenkmäler Und Funde Des Stadt- Und Landkreises Gießen, Materialien Zur Vor- Und Frühgeschichte von Hessen. Landesamt für Denkmalpflege Hessen, Darmstadt, pp. 149–196.
Schumacher, K., 1919. Hügelgräber im Vorderwald von Muschenheim: erster Grabungsbericht (1918), Veröffentlichungen des Oberhessischen Museums und der Gailschen Sammlungen zu Gießen, Abteilung für Vorgeschichte. Töpelmann, Gießen.
Schünemann, D., 1973. Zwei Urnenhügel der jüngeren Bronzezeit und frühen Eisenzeit bei Nordwohlde, Kr. Grafschaft Hoya. Die Kunde 24, 69–74.
Schünemann, D., 1968. Nachuntersuchungen an zerstörten Hügelgräbern im Kreis Verden. Nachrichten aus Niedersachsens Urgeschichte 37, 134–135.
Schünemann, D., 1966a. Drei frühbronzezeitliche Hügelgräber bei Luttum, Kr. Verden. Nachrichten aus Niedersachsens Urgeschichte 35, 69–72.
Schünemann, D., 1966b. Ein älterbronzezeitlicher Grabhügel bei Otersen, Kr. Verden. Nachrichten aus Niedersachsens Urgeschichte 35, 68–69.
Schünemann, D., 1966c. Zwei älterbronzezeitliche Hügelgräber bei Tüchten, Gem. Bassen, Kr. Verden. Nachrichten aus Niedersachsens Urgeschichte 35, 72–75.
Schünemann, D., 1965. Zwei Grabhügel der Einzelgrabkultur in Luttum, Kr. Verden. Nachrichten aus Niedersachsens Urgeschichte 34, 76–77.
Schünemann, D., 1962. Drei Hügelgräber bei Baden (Kreis Verden). Die Kunde 13, 101–108.
Schünemann, D., Deichmüller, J., 1963. Zwei Hügelgräber am Lindhoop, Gemarkung Weitzmühlen, Kr. Verden (Aller). Nachrichten aus Niedersachsens Urgeschichte 32, 95–97.
Schwarz, M., 2008. Studien zur Sozialstruktur der Glockenbecherkultur im Bereich der Ostgruppe auf der Grundlage der Grabfunde, Saarbrücker Beiträge zur Altertumskunde. Dr. Rudolf Habelt GmbH, Bonn.

Schwarz, W., 1982. Grabhügel “Holten Peerd” in Hesel, Ldkr. Leer. Archäologische Mitteilungen aus Nordwestdeutschland 5, 3–10.
Schwarz, W., 1974. Ausgrabung eines überpflügten Grabhügels in der Gemarkung Reepsholt, Gem. Friedeburg, Kr. Wittmund. Nachrichten aus Niedersachsens Urgeschichte 43, 106–109.
Šebela, L., 1999. The Corded Ware Culture in Moravia and in the Adjacent Part of Silesia, Fontes Archaeologiae Moravicae. Archeologický Ústav Akademie Věd České Republiky V Brně, Brno.
SGUF, 2004. Birmersdorf ZH, Rameren. Jahrbuch der Schweizerischen Gesellschaft für Ur- und Frühgeschichte 363.
Šmid, M., 2003. Mohylová pohřebiště kultury nálevkovitých pohárù na Moravě, Pravěk Supplementum. Ùstav Archeologické Památkové Péče Brno, Brno.
SPP 1400, 2016. Megalithic collective graves of the Funnel Beaker societies.
Sprockhoff, E., 1930. Hügelgräber bei Vorwohlde im Kreis Sulingen. Prähistorische Zeitschrift 3–4, 193–236.
Stampfuß, R., 1943a. Das Hügelgräberfeld Kalbeck, Kr. Kleve, Quellenschriften zur westdeutschen Vor- und Frühgeschichte. Barth, Leipzig.
Stampfuß, R., 1943b. Das Hügelgräberfeld Rheinberg: Kr. Mörs, Mit einem Beitrag von Ursula Thieme. Kurt Kabitzsch, Leipzig.
Steffens, H.-G., 1976. Grabhügel der vorrömischen Eisenzeit bei Emstek-Gartherfeld, Ldkr. Cloppenburg. Nachrichten aus Niedersachsens Urgeschichte 45, 389–405.
Steffens, H.-G., 1970. Grabhügel der vorrömischen Eisenzeit im Niedersächsischen Verwaltungsbezirk Oldenburg. Nachrichten aus Niedersachsens Urgeschichte 39, 104–125.
Steffens, H.-G., 1965. Fünfzehn Grabhügel der vorrömischen Eisenzeit in der Gemeinde Emstek, Kr. Cloppenburg. Nachrichten aus Niedersachsens Urgeschichte 34, 136–137.
Stockhammer, P.W., Massy, K., Knipper, C., Friedrich, R., Kromer, B., Lindauer, S., Radosavljević, J., Wittenborn, F., Krause, J., 2015. Rewriting the Central European Early Bronze Age Chronology: Evidence from Large-Scale Radiocarbon Dating. PLoS ONE 10, e01397050. https://doi.org/10.1371/ journal.pone.0139705
Stöckli, W.E., Niffeler, U., 1999. SPM IV. Eisenzeit, Die Schweiz vom Paläolithikum bis zum Mittelalter. Vom Neandertaler bis zu Karl dem Grossen. Schweizerische Gesellschaft für Ur- und Frühgeschichte, Basel.
Stöckli, W.E., Niffeler, U., Gross-Klee, E. (Eds.), 1995. SPM II. Neolithikum, Die Schweiz vom Paläolithikum bis zum Mittelalter. Vom Neandertaler bis zu Karl dem Grossen. Verlag Schweizerische Gesellschaft für Ur- und Frühgeschichte, Basel.
Strahl, E., 1982. Ein Grabhügelfeld aus dem Übergang von der jüngsten Bronzezeit zur älteren vorrömischen Eisenzeit bei Kroge-Westerharl (Gde. Bomlitz, Ldkr. Soltau-Fallingbostel). Nachrichten aus Niedersachsens Urgeschichte 50, 55–92.
Streit, C., 1938. Fundnachrichten aus Böhmen. Nachrichtenblatt für Deutsche Vorzeit 14.
Stróżyk, M., 2019. View with barrows: funerary landscape of Tumulus Culture community from Silesia and Wielkopolska borderland, Bibliotheca Fontes archaeologici Posnanienses. Muzeum Archeologiczne, Poznań.
Taylor, N., 2016. Burning Questions. Identity and Late Bronze Age/Early Iron Age Cremation Cemeteries, Universitätsforschungen zur prähistorischen Archäologie. Dr. Rudolf Habelt GmbH, Bonn.
Tempel, W.D., 1987. Die Ausgrabung zweier Grabhügel des Gräberfeldes “Männige Berge” in Spahn, Gde. Spahnharrenstätte, Ldkr. Emsland. Nachrichten aus Niedersachsens Urgeschichte 56, 347–355.
Tode, A., 1961. Grabhügel der jüngeren Bronzezeit im Sudholz bei Schladen. Nachrichten aus Niedersachsens Urgeschichte 30, 91–92.

Ulbrich, A., 2018. Die Entdeckung von Grabhügel 2 und die Freilegung der Bestattung, in: Recker, U., Rupp, V. (Eds.), Die “Fürstengräber” Vom Glauberg: Bergung - Restaurierung - Textilforschung, Materialien Zur Vor- Und Frühgeschichte von Hessen. Selbstverlag des Landesamtes für Denkmalpflege Hessen, Wiesbaden, pp. 65–70.
Venclová, N., Sankot, P. (Eds.), 2013. The Early Iron Age - the Hallstatt period, The Prehistory of Bohemia. Archeologický ústav AV ČR, Praha.
Voss, K.L., 1963. Notgrabung an älterbronzezeitlichen Grabhügeln nördlich Deimern, Kr. Soltau. Nachrichten aus Niedersachsens Urgeschichte 32, 110–113.
Voss, K.L., 1962. Notuntersuchung zweier älterbronzezeitlicher Grabhügel bei Kirchlinteln, Kreis Verden (Aller). Nachrichten aus Niedersachsens Urgeschichte 31, 135–136.
Wegewitz, W., 1977. Die Urnenfriedhöfe der jüngeren Bronze-, der frühen und der vorrömischen Eisenzeit im Kreis Harburg, Die Urnenfriedhöfe in Niedersachsen. Lax, Hildesheim.
Wegewitz, W., 1969. Untersuchung von vier jungsteinzeitlichen Grabhügeln in der Feldmark Rahmstorf, Gem. Regesbostel. Harburger Jahrbuch 12, 103–116.
Wegewitz, W., 1958. Hügelgräber aus der frühen Bronzezeit im Kreise Harburg. Harburger Jahrbuch 8, 90–111.
Wilkes, F., Skorna, H., 2022. The Dawn of the early Bronze age in South-Western Slovakia. A Re-Evaluation of the Social Structure and Chronology of Výčapy-Opatovce. Slovenská Archeológia 70, 63–80. https://doi.org/10.31577/slovarch.2022.70.3
Zich, B., 1996. Studien zur regionalen und chronologischen Gliederung der nördlichen Aunjetitzer Kultur, Vorgeschichtliche Forschungen. de Gruyter, Berlin.
Zylmann, D., 1983. Die Urnenfelderkultur in der Pfalz: Grab- und Depotfunde, Einzelfunde aus Metall. Pfälzische Gesellschaft zur Förderung der Wissenschaften, Speyer